

Proračun lijepljeno lamelirane grede dužine 25 m

Uskok, Luka

Undergraduate thesis / Završni rad

2024

Degree Grantor / Ustanova koja je dodijelila akademski / stručni stupanj:

University of Split, Faculty of Civil Engineering, Architecture and Geodesy / Sveučilište u Splitu, Fakultet građevinarstva, arhitekture i geodezije

Permanent link / Trajna poveznica: <https://urn.nsk.hr/urn:nbn:hr:123:404191>

Rights / Prava: [In copyright/Zaštićeno autorskim pravom.](#)

*Download date / Datum preuzimanja: **2025-04-01***

Repository / Repozitorij:



[FCEAG Repository - Repository of the Faculty of Civil Engineering, Architecture and Geodesy, University of Split](#)



SVEUČILIŠTE U SPLITU STUDIJ GRAĐEVINARSTVA
ARHITEKTURE I GEODEZIJE



ZAVRŠNI RAD
PRORAČUN LIJEPLJENO LAMELIRANE
GREDE DUŽINE 25m

OSNOVE DRVENIH KONSTRUKCIJA

2024.

Autor :

Luka Uskok

Mentor:

izv. Prof. dr.sc. Neno Torić

PRORAČUN LIJEPLJENO LAMELIRANE GREDE DUŽINE 25m

Sažetak:

Konstruktivni sustav je lijepljeno lamelirani nosač raspona L = 25 m

Za završni rad radio sam proračun lijepljeno lameliranog nosača (LLN) raspona 25m koji je dio konstrukcije hale dimenzija 25x40 m na području Splita. Za proračun konstrukcije koristio sam se SCIA engineer i EC5. Završni rad sadrži proračun konstrukcije na GSU i GSN te proračun spoja LLN i armirano-betonski zid te proračun otpornosti na požar u trajanju od 30 minuta.

Ključne riječi : analiza, dimenzioniranje, glavna konstrukcija, sekundarna konstrukcija.

Summary:

The structural system is a glued laminated support with a span of L = 25 m

For the final thesis, I made a calculation of a glued laminated beam (LLN) with a span of 25 m, which is part of the construction of a hall with dimensions of 25x40 m in the area of Split. I used SCIA engineer and EC5 for the construction calculation. The final thesis contains the calculation of the structure on limit state of the serviceability and the limit state of bearing capacity , and the plan and calculation of the joint connection between the LLN and the reinforced concrete wall.

Finnaly a calculation of fire resistance for a duration of 30 minutes.

Keywords: analysis, dimensioning, main construction, secondary construction.

**SVEUČILIŠTE U SPLITU
FAKULTET GRAĐEVINARSTVA,
ARHITEKTURE I GEODEZIJE**

**UNIVERSITY OF SPLIT
FACULTY OF CIVIL ENGINEERING,
ARCHITECTURE AND GEODESY**

KATEDRA ZA METALNE I DRVENE KONSTRUKCIJE

**PRIJEDIPLOMSKI STUDIJ GRAĐEVINARSTVO
KOLEGIJ: OSNOVE DRVENIH KONSTRUKCIJA**

ZADATAK ZA ZAVRŠNI RAD

Potrebno je dimenzionirati krovni nosivi sustav prema slici ispod (analiza opterećenja, statički proračun i dimenzioniranje glavnih i sekundarnih nosača, dimenzioniranje detalja nacrti).

ZADANI PODACI:

Osni raspon L: 25,0 m
Oslonci: AB zid/stup
Svjetla visina do oslonca: 5 m
Materijal izrade: GL32h, uporabna klasa II
Lokacija objekta: Split, kategorija terena II
Razmak glavnih nosača n: 4 m
Tip sprega: čelični (X)

SKICA

Student: Uskok Luka

Izv.prof.dr.sc. Neno Torić / Split, 22.03.2024.

N. Torić

SADRŽAJ

1. Tehnički opis.....	5
2. Analiza opterećenja.....	9
3. Dijagrami reznih sila za kombinacije djelovanja (GSN).....	15
4. Progobi za granično stanje uporabljivosti (GSU).....	19
5. Dimenzioniranje elemenata glavne konstrukcije.....	22
6. Dimenzioniranje sekundarnih nosača.....	25
7. Stabilizacija.....	26
7.1. Gornji pojasi	
7.2. Sekundarni nosači	
7.3. Spreg	
8. Proračun spoja armirano betonskog zida i drvenog nosača.....	28
9. Vatrootpornost.....	31
10. Nacrti.....	35
11. Literatura.....	36

1. TEHNIČKI OPIS

1.1. KONSTRUKTIVNI SASTAV KROVA

Konstruktivni sustav je lijepljeno lamelirani nosač raspona $L = 25 \text{ m}$

Glavni nosači konstrukcije tlocrtno su međusobno paralelni i nalaze se na razmaku $n = 4 \text{ m}$. Stabiliziranje konstrukcije predviđeno je horizontalnim spregom.

1.2. STATIČKA ANALIZA SUSTAVA

Proračun je izvršen prema EC5.

Konstrukcija je izložena djelovanju:

- vlastita težina
- dodatno stalno opterećenje
- vjetar pritiskajući
- vjetar odižući
- snijeg.

Građevina se nalazi na području Splita , do 100 m nadmorske visine, kategorija zemljišta 2 .

Koeficijenti za vjetar i snijeg uzeti su prema tome pripadajućih propisanih tablica.

Proračun reznih sila je pomoću računalnog programa Scia Engineer.

Izvršena je analiza bočnog opterećenja u kombinaciji s vjetrom koji djeluje okomito na glavni nosač i izbočava ga. Cilj ovog proračuna je prostorna stabilizacija konstrukcije.

1.3. OPIS KONSTRUKTIVNIH ELEMENATA

GLAVNI NOSAČI

Glavni nosači predstavljaju nosivi dio konstrukcije i prenose vertikalna opterećenja na nosive zidove i dalje na temeljno tlo. Dimenzionirani su da prime utjecaj od vlastite težine i opterećenja od snijega i vjetra. Oni su pravokutnog poprečnog presjeka.

PODROŽNICE

Podrožnica prenosi opterećenje s krovne plohe na glavne nosače. Elementi podrožnice koji imaju i funkciju vertikala vjetrovnog sprega, kvadratnog su poprečnog presjeka dimenzija 16/18 cm i nalaze se na razmaku $a=3.125$ m.

SPREG

Spreg služi za prihvaćanje horizontalnih sila i za pridržavanje glavnih nosača da ne bi došlo do izbočavanja. Horizontalne spregove tvore glavni nosači kao pojasevi, glavne podrožnice kao vertikale te dijagonale.

1.4. MATERIJALI

DRVENI MATERIJALI

Drveni elementi konstrukcije izrađeni su od drva klase GL32h. Karakteristične vrijednosti čvrstoća, modula i gustoće za ovu klasu:

$$f_{m,k} = 32 \text{ N/mm}^2$$

$$f_{t,0,k} = 25.6 \text{ N/mm}^2$$

$$f_{c,0,k} = 32 \text{ N/mm}^2$$

$$E_{0,\text{mean}} = 14\,200 \text{ N/mm}^2$$

$$G_{\text{mean}} = 750 \text{ N/mm}^2$$

$$\rho_k = 440 \text{ kg/m}^3$$

METALNI MATERIJALI

Za spajanje pojedinih elemenata upotrijebljeni su vijci za drvo promjera 16 mm te je također korišten lim zaštićen od korozije, debljine 12 mm.

1.5. ZAŠTITA

ZAŠTITA DRVENIH ELEMENATA

Zaštita LLN i sekundarnih nosača se vrši fungicidnim premazima za zaštitu od prodora vode i nametnika. Zaštita se nanosi u tri sloja, s tim da se dva sloja nanose u tvornici prije transporta, a treći, završni, nakon dovršenja konstrukcije. LLN mora biti zaštićen od vanjskih uvjeta tijekom transporta na gradilište.

ZAŠTITA METALNIH ELEMENATA

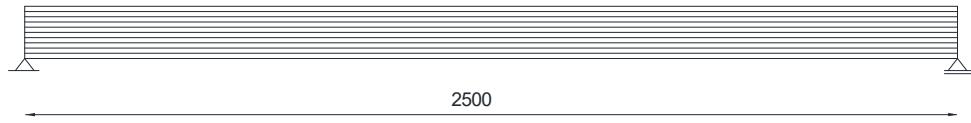
Metalni elementi su zaštićeni pocinčavanjem i zaštitnim premazima nakon ugradnje na konstrukciju.

1.6. TRANSPORT I MONTAŽA

Transport do gradilišta treba biti pomno isplaniran da bi se izbjegla oštećenja nosača a i prometnih znakova i prometne infrastrukture. LLN se mora transportirati u onom položaju u kojem će i primite opterećenje u eksploataciji objekta. Transportni plan je dužnost izvođača te ga mora dostaviti skupa sa planom montaže nadzornoj službi na suglasnost pogotovo s obzirom na dužinu LLN nosača biti će potrebne dodatne dozvole. LLN se podiže na mjestu pomoću dizalice. Prvo podižemo LLN povezane spregom na njihove prethodno određene pozicije nakon čega redom postavljamo ostale LLN. Nakon što postavimo LLN postavljamo sekundarnu konstrukciju te vanjski pokrov građevine.

Montaža konstrukcije se treba odraditi tijekom suhog vremena te po mogućnosti bez snažnih udara vjetra radi jednostavnosti same montaže u suprotnome LLN treba zaštiti od kišnih uvjeta pogotovo ako montaža traje duže vrijeme.

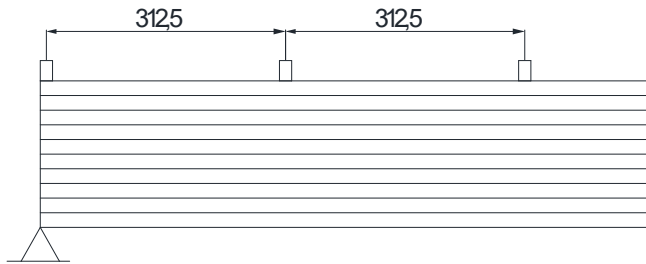
POPREČNI PRESJEK



ZADANO:

- raspon rešetke: $L=25 \text{ m}$
- razmak okvira: $n=4 \text{ m}$
- materijal izrade: GL32h
- uporabna klasa: 2
- lokacija objekta: Split
- kategorija zemljišta: 2
- tip sprega: čelični(X)

DIMENZIONIRANJE POPREČNOG PRESJEKA



-razmak između sekundarnih nosača: $a=3.125 \text{ m}$

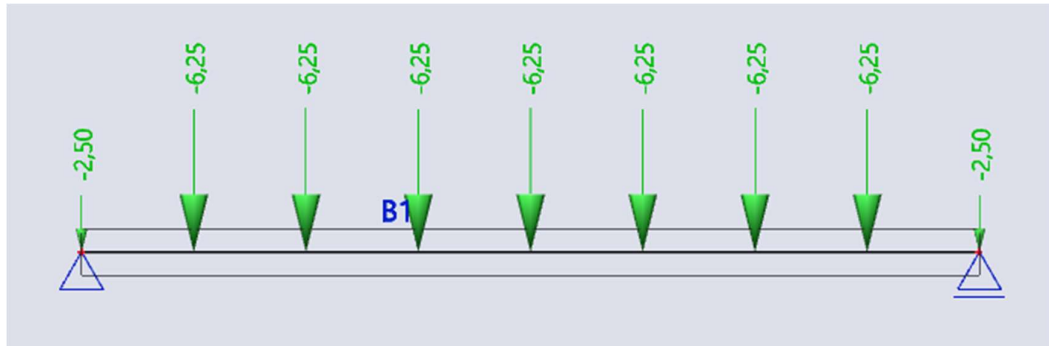
2. ANALIZA OPTEREĆENJA

2.1. STALNO OPTEREĆENJE-KROVNA PLOHA

$$\sum g_{slojevi} = 0.50 \text{ kN/m}^2$$

$$G_k = 0.50 \frac{\text{kN}}{\text{m}^2} \cdot n \cdot a = 0.50 \text{kN/m}^2 \cdot 4\text{m} \cdot 3.125\text{m} = 6.25 \text{ kN}$$

Opterećenje vlastite težine u čvorovima:



2.2. PROMJENJIVO OPTEREĆENJE

2.2.1. DJELOVANJE SNIJEGA

Opterećenje snijegom po krovu (po tlocrtnoj površini krova) određuje se po formuli:

$$s = \mu_i \cdot c_e \cdot c_t \cdot s_k$$

s_k - karakteristična vrijednost opterećenje na tlu [kN/m^2]

$s_k = 0.50 \text{ } kN/m^2 \rightarrow$ za područje Splita , do 100 m nadmorske visine;
očitano iz tablice

DJELOVANJE SNIJEGA

Nadmorska visina do [m]	1. područje – priobalje i otoci [kN/m^2]	2. područje – zaleđe Dalmacije, Primorja i Istre [kN/m^2]	3. područje – kontinentalna Hrvatska [kN/m^2]	4. područje – gorska Hrvatska [kN/m^2]
100	0,50	0,75	1,00	1,25

c_e - koeficijent izloženosti

$$c_e = 1.0$$

c_t - toplinski koeficijent

$$c_t = 1.0$$

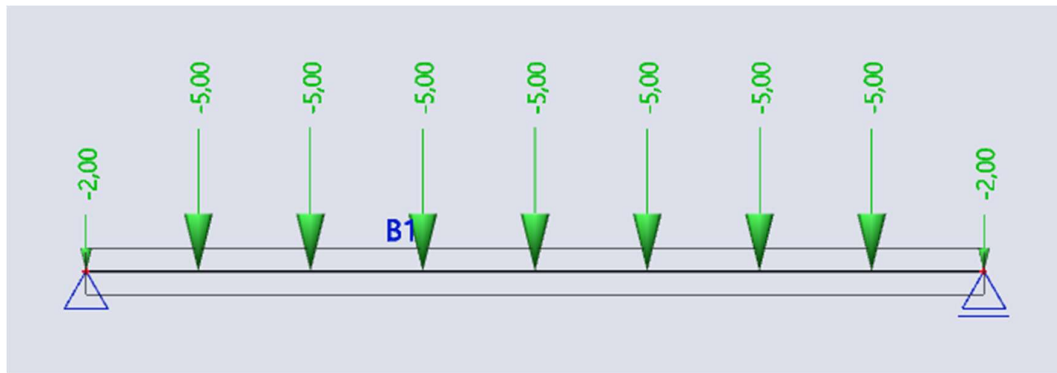
Opterećenje snijegom preko cijele krovne površine:

$$s = 0.8 \cdot 1.0 \cdot 1.0 \cdot 0.5 = 0.4 \text{ } kN/m^2$$

Opterećenje snijegom u čvorovima:

$$S = 0.4 \frac{kN}{m^2} \cdot n \cdot a = 0.4 \frac{kN}{m^2} \cdot 4m \cdot 3.125m = 5.00 \text{ } kN$$

Opterećenje snijegom:



2.2.2. DJELOVANJE VJETRA

Opterećenje vjetrom okomito na površinu.

$$w_e = q_p(z_e) \cdot c_{pe} \text{ [kN/m}^2\text{]} - \text{pritisak vjetra na vanjske površine}$$

C_{pe} - koeficijent pritiska za vanjski vjetar

$$w_i = q_p(z_i) \cdot c_{pi} \text{ [kN/m}^2\text{]} - \text{pritisak vjetra na unutarnje površine}$$

C_{pi} - koeficijent pritiska za unutarnji vjetar

$$q_p(z) = c_e(z) \cdot q_b \text{ [kN/m}^2\text{]} - \text{pritisak brzine vjetra pri udaru}$$

q_b - osnovni pritisak brzine vjetra pri udaru

$C_e(z)$ - faktor izloženosti

Određivanje osnovnog pritiska brzine vjetra:

$$q_b = \frac{1}{2} \cdot \rho \cdot v_b^2 \text{ [kN/m}^2\text{]}$$

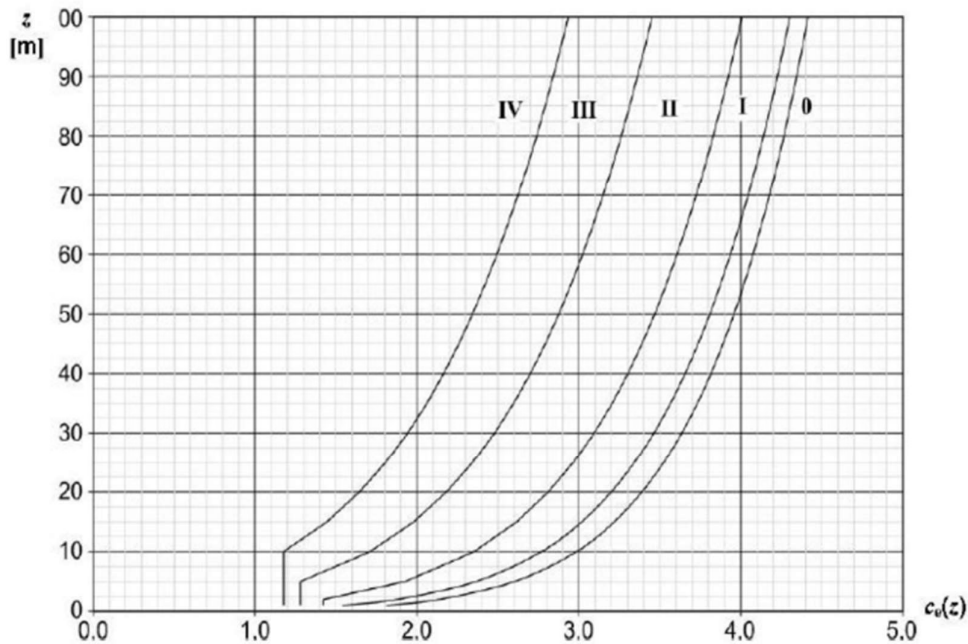
ρ - gustoća zraka; $\rho = 1.25 \text{ kg/m}^3$

v_b - osnovna brzina vjetra; $v_b = 25 \text{ m/s}$ (očitano sa karte za Split)

$$q_b = \frac{1}{2} \cdot 1.25 \cdot (25)^2 = 390.63 \text{ N/m}^2 = 0.391 \text{ kN/m}^2$$

Određivanje pritiska brzine vjetra pri udaru:

DJELOVANJE VJETRA

Slika 5. Grafički prikaz faktora izloženosti $c_e(z)$ za $c_o=1.0$ i $k_I=1.0$

$$C_e(10) = 2.5 \quad (\text{očitano iz dijagrama za kategoriju zemljištu 2})$$

$$q_p = 2.5 \cdot 0.391 = 0.985 \text{ kN/m}^2$$

Određivanje koeficijenta pritiska vjetra za ravni krov (zone F,G,H,I)

Koeficijente odredimo pomoću tablice

VANJSKI VJETAR	F	G	H	I	
$C_{pe} (-)$	-1.4	-0.90	-0.7	-0.2	odižući vjetar
$w_e = q_p \cdot C_{pe}$	-1.379	-0.886	-0.69	-0.197	
$C_{pe} (+)$	0	0	0	+0.2	pritiskajući vjetar
$w_e = q_p \cdot C_{pe}$	0	0	0	+0.197	

Koeficijent unutarnjeg pritiska vjetra C_{pi}

$$C_{pi} (+) = +0.2$$

$$C_{pi} (-) = -0.3$$

UNUTARNJI VJETAR		
C_{pi} (+)	+0.2	odižući vjetar
$w_i = q_p \cdot C_{pi}$	+0.197	
C_{pi} (-)	-0.3	pritiskajući vjetar
$w_i = q_p \cdot C_{pi}$	-0.296	

REZULTANTNO DJELOVANJE VJETRA

→ dobije se kombinacijom vanjskog i unutarnjeg učinka

$w_e + w_i$	F	G	H	I
w_p [kN/m^2]	1.379+0.197	0.886+0.197	0.69+0.197	0.197+0.197
	= 1.576	= 1.084	= 0.887	= 0.394
w_o [kN/m^2]	0+0.296	0+0.296	0+0.296	0.197+0.296
	= - 0.296	= - 0.296	= - 0.296	= - 0.493

Kombinacija 1 (pritiskanje):

$$w_{p,1} = 1.084 \frac{kN}{m^2} * 4m + 0.887 * 4m * 0.57 m = 6.36 kN$$

$$w_{p,2} = 0.887 \frac{kN}{m^2} * 4m * 3.125m = 11.1 kN$$

$$w_{p,3} = 0.887 \frac{kN}{m^2} \cdot 4m \cdot 0.31m + 0.394 \frac{kN}{m^2} * 4 * 2.81 = 5.53 kN$$

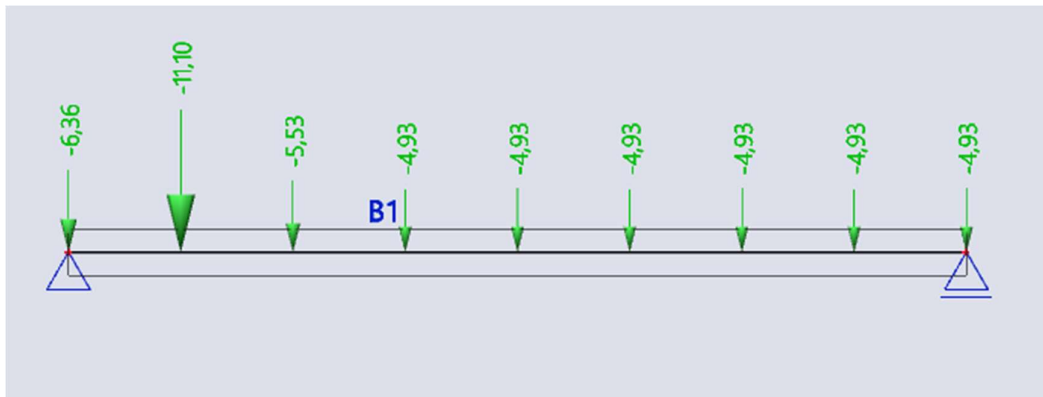
$$w_{p,4} = 0.394 \frac{kN}{m^2} \cdot 4m \cdot 3.125 m = 4.93 kN$$

$$w_{p,5} = 0.394 \frac{kN}{m^2} \cdot 4m \cdot 3.125 m = 4.93 kN$$

$$w_{p,6} = 0.394 \frac{kN}{m^2} \cdot 4m \cdot 3.125 m = 4.93 kN$$

$$w_{p,7} = 0.394 \frac{kN}{m^2} \cdot 4m \cdot 3.125 m = 4.93 kN$$

$$w_{p,8} = 0.394 \frac{kN}{m^2} \cdot 4m \cdot 3.125 m = 4.93 kN$$



Kombinacija 2 (odizanje):

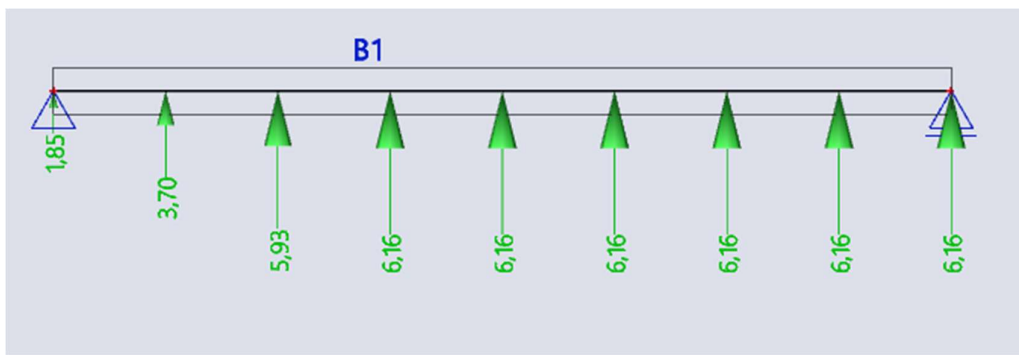
$$w_{o,1} = 0.296 \frac{kN}{m^2} \cdot \frac{3.125 m}{2} * 4m = 1.85 kN$$

$$w_{o,2} = 0.296 \frac{kN}{m^2} * 4m * 3.125 = 3.7 kN$$

$$w_{o,3} = 0.296 \frac{kN}{m^2} \cdot 4m \cdot 0.31 m + 0.394 \frac{kN}{m^2} * 4m * 3.125m = 5.93 kN$$

$$w_{o,4} = 0.394 \frac{kN}{m^2} \cdot 4m \cdot 3.125 m = 6.16 kN$$

$$w_{o,5} = w_{o,6} = w_{o,7} = w_{o,8} = 0.394 \frac{kN}{m^2} \cdot 4m \cdot 3.125 m = 6.16 kN$$



3. Dijagrami reznih sila za kombinacije djelovanja (GSN)

KOMBINACIJE

Naziv kombinacije	Opis
GSN1	$1.35 \cdot (G_0 + G_1) + 1.5 \cdot S$
GSN2	$1.35 \cdot (G_0 + G_1) + 1.5 \cdot W_1$
GSN3	$1.0 \cdot (G_0 + G_1) + 1.5 \cdot W_2$

G0 – vlastita težina

G1 – dodatno stalno (krovna ploha)

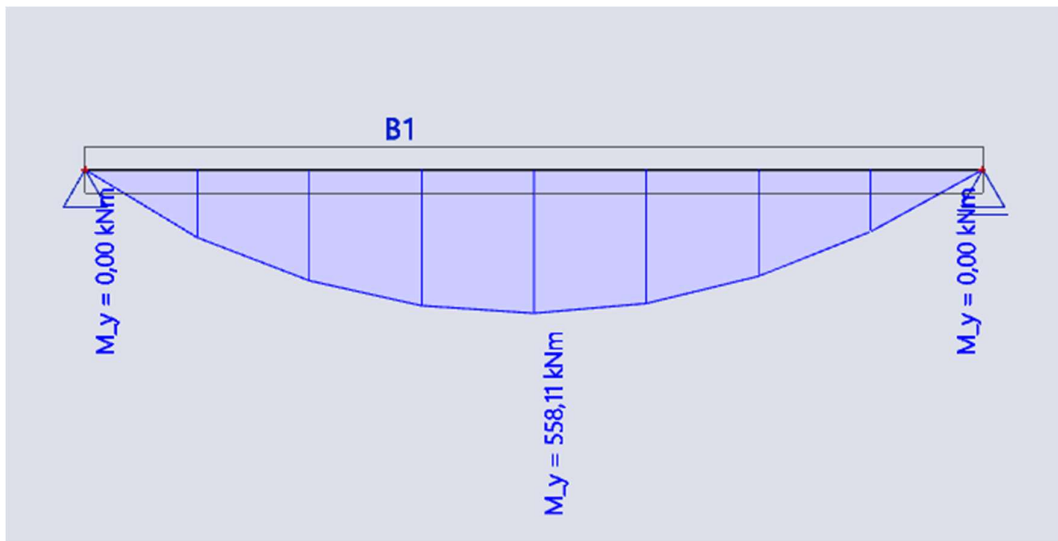
S – snijeg

W1 – pritiskajući vjetar

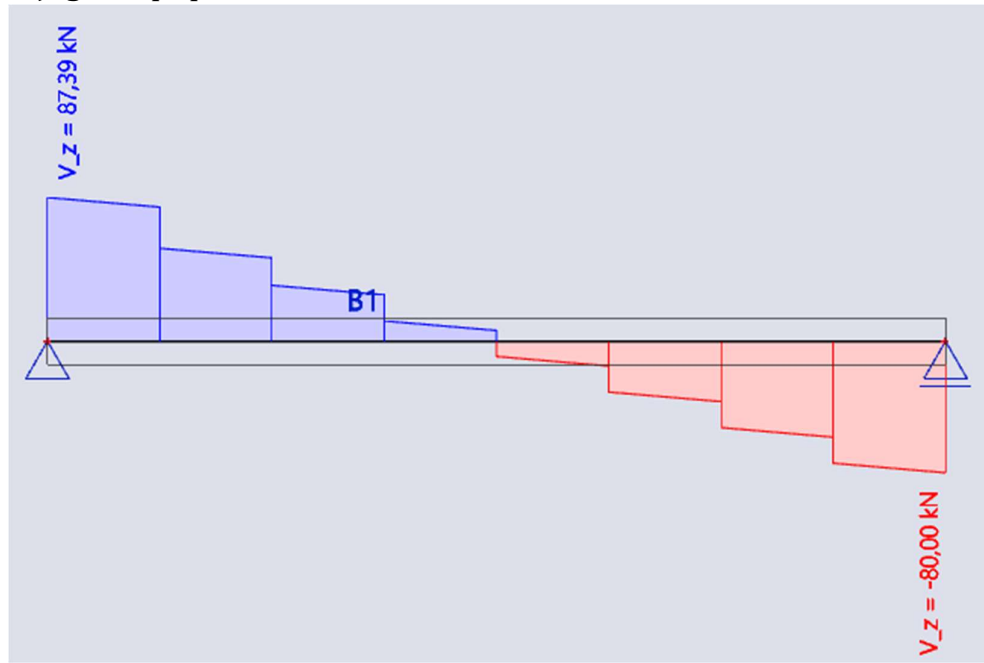
W2 – odižući vjetar

GSN1

1. momentni dijagram

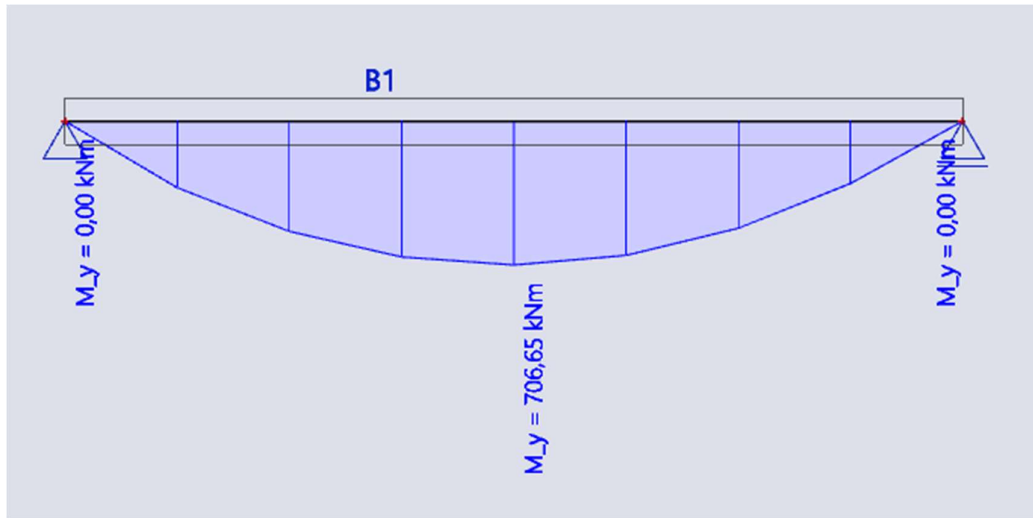


2. dijagram poprečnih sila

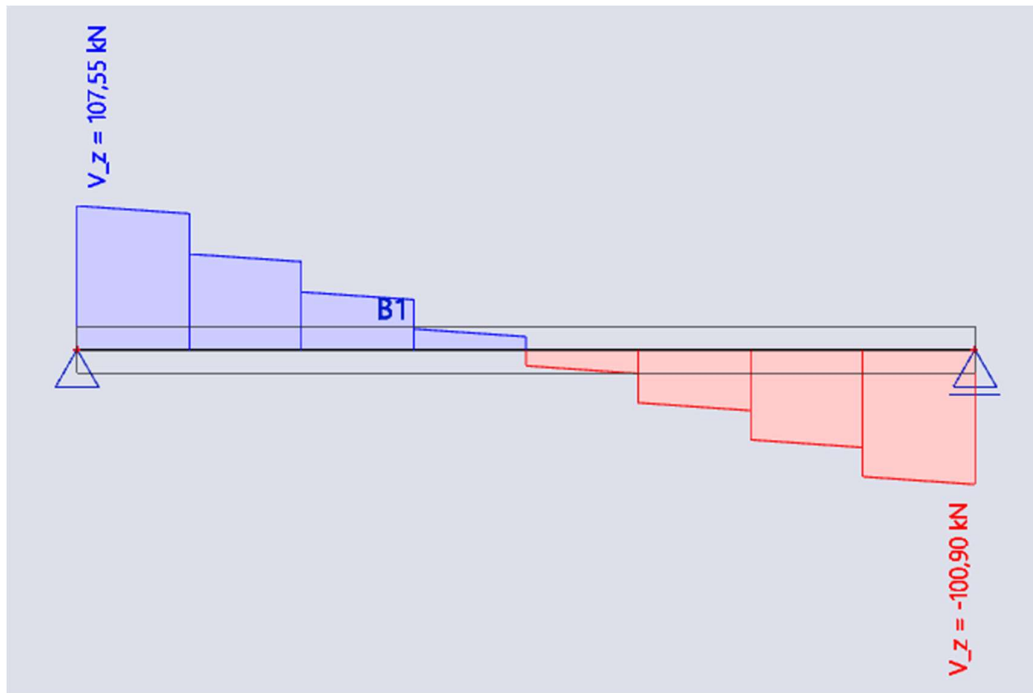


GSN2

1. momentni dijagram

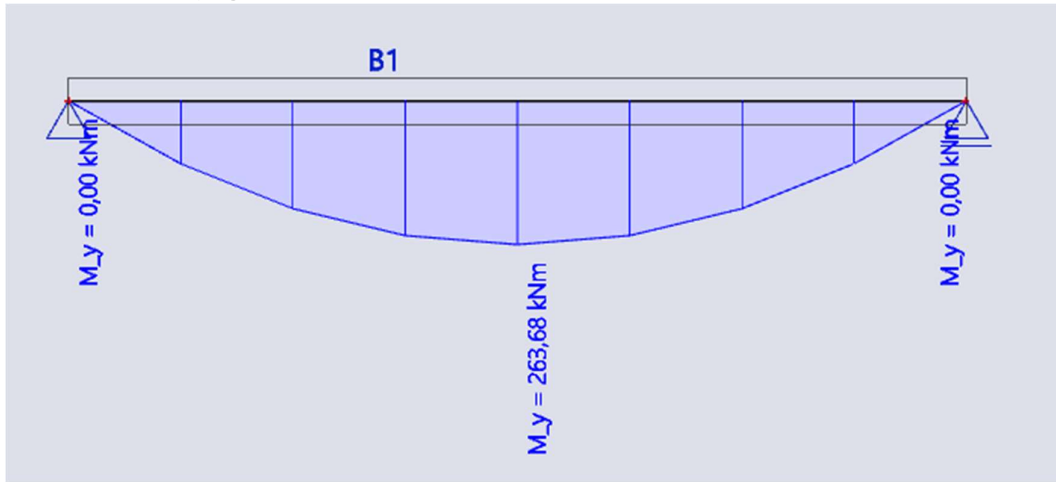


2. dijagram poprečnih sila

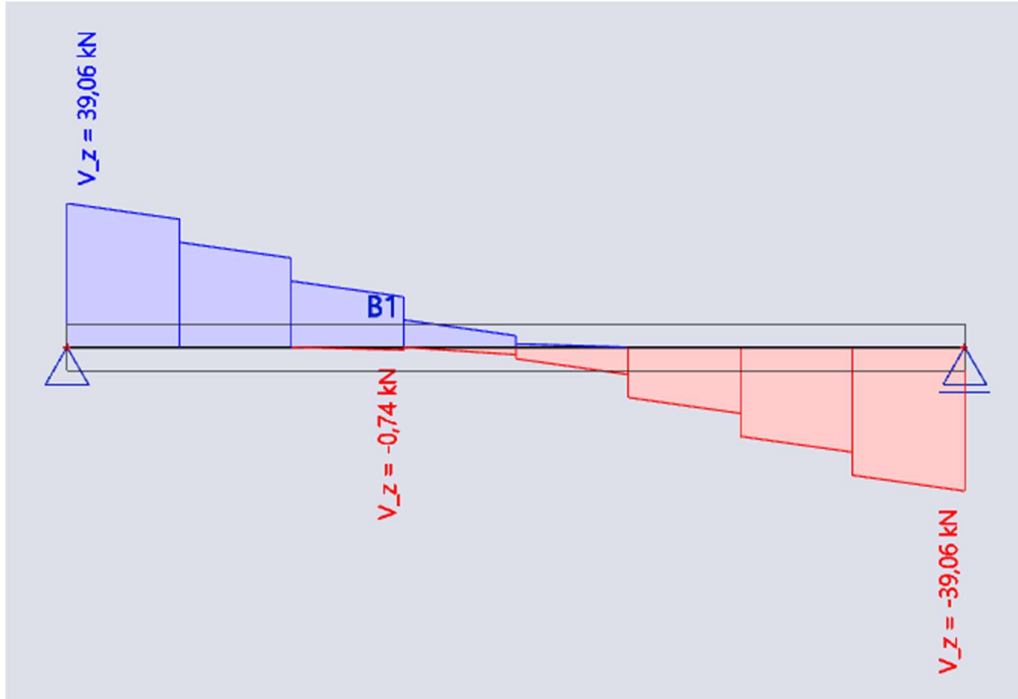


GSN3

1. momentni dijagram



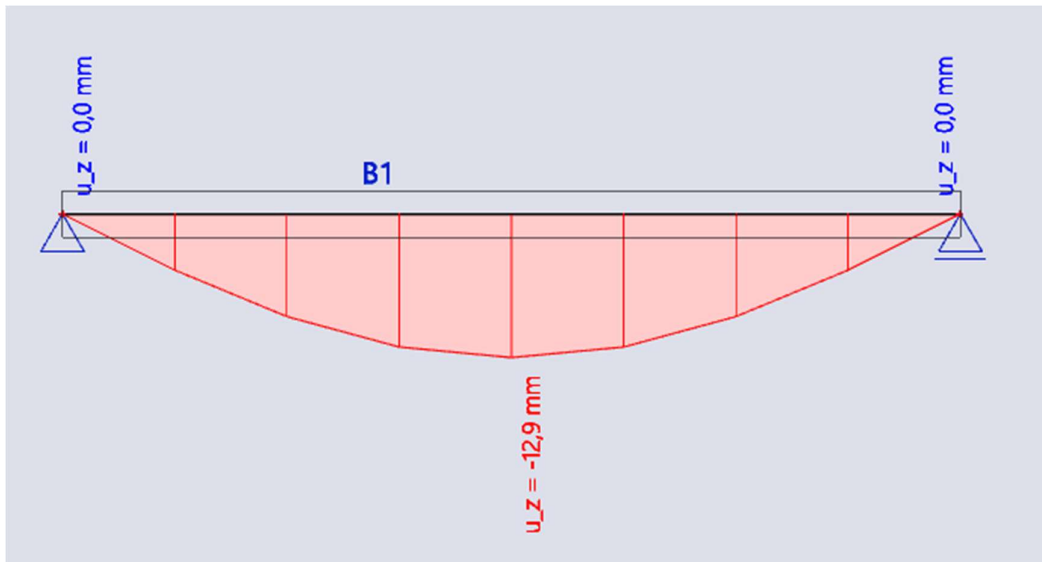
2. dijagram poprečnih sila



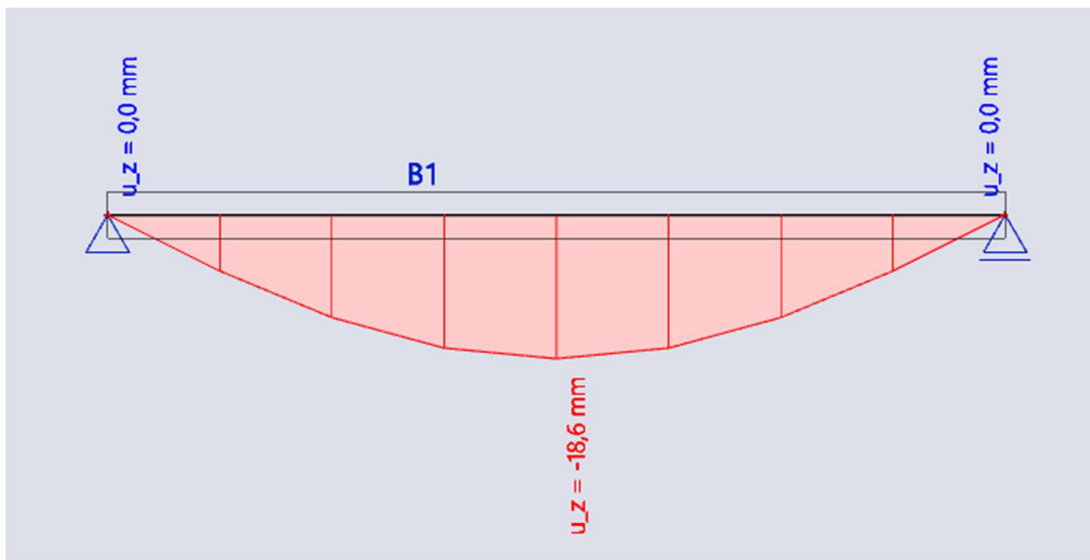
4. PROGIBI ZA GRANIČNO STANJE UPORABLJIVOSTI

VLASTITA TEŽINA

-opterećenje: self-weight



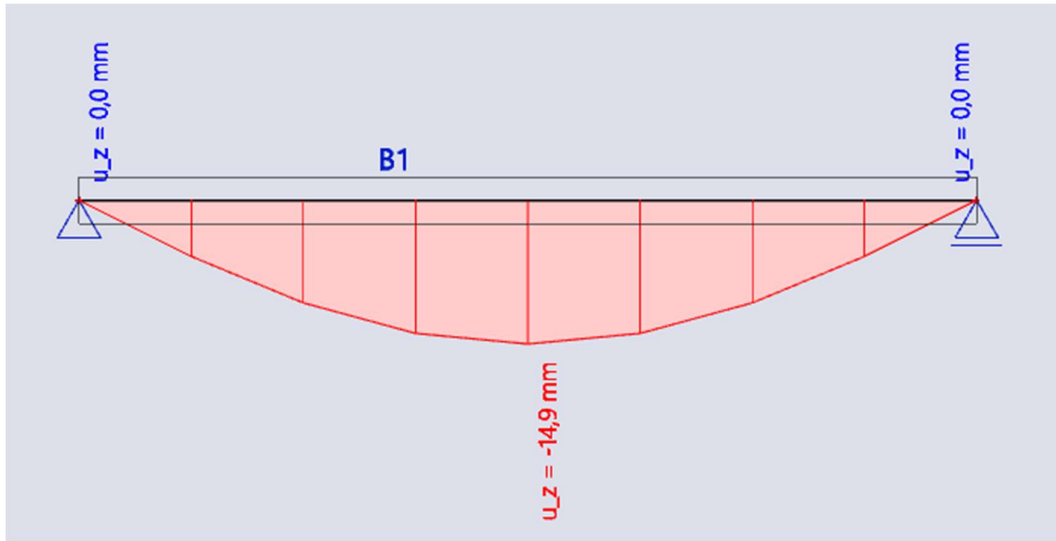
-opterećenje: stalno



$$U_{inst,G} = 1.29\text{cm} + 1.86\text{cm} = 3.15\text{cm}$$

$$u_{fin,G} = u_{inst,G}(1 + k_{def}) = 3.15\text{cm} \cdot (1 + 0.8) = 5.70\text{cm}$$

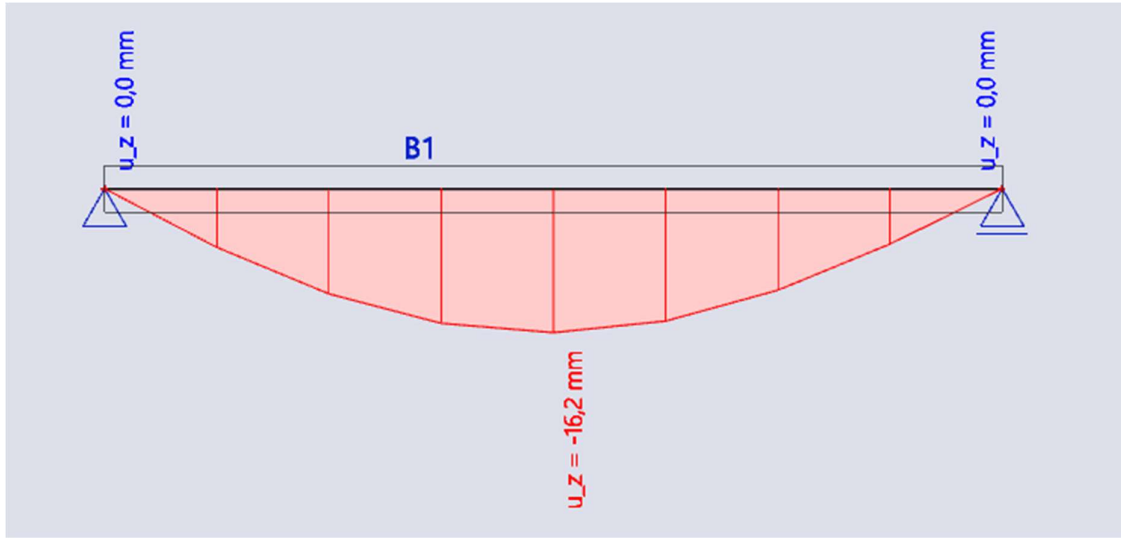
SNIJEG



$$U_{inst,S} = 1.49 \text{ cm}$$

$$u_{fin,S} = u_{inst,S}(1 + \psi_{2.5} \cdot k_{def}) = 1.49 \text{ cm} \cdot (1 + 0.0 \cdot 0.8) = 1.49 \text{ cm}$$

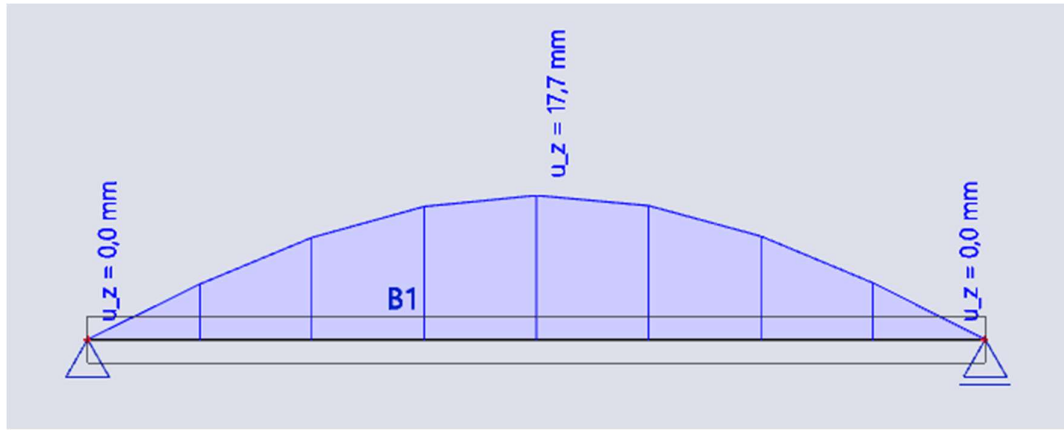
VJETAR PRITISKAJUĆI



$$U_{inst,P} = 1.62 \text{ cm}$$

$$u_{fin,P} = u_{inst,P}(\psi_{0,w2} + \psi_{2,w2} \cdot k_{def}) = 1.62 \text{ cm} \cdot (0.6 + 0.0 \cdot 0.8) = 0.98 \text{ cm}$$

VJETAR ODIŽUĆI



$$U_{inst,P} = 1.77 \text{ cm}$$

$$u_{fin,P} = u_{inst,P} (1 + \psi_{2,w2} \cdot k_{def}) = 1.77 \text{ cm} \cdot (1 + 0.0 \cdot 0.8) = 1.77 \text{ cm}$$

TRENUTNI PROGIBI

$$\frac{L}{300} = \frac{2500 \text{ cm}}{300} = 8.33 \text{ cm}$$

$$U_{G,inst} = 5.70 \text{ cm} < 8.33 \text{ cm}$$

$$U_{S,inst} = 1.49 \text{ cm} < 8.33 \text{ cm}$$

$$U_{Qp,inst} = 1.62 \text{ cm} < 8.33 \text{ cm}$$

FINALNI PROGIBI

$$U_{G,fin} = 5.70 \text{ cm}$$

$$U_{S,fin} = 1.49 \text{ m}$$

$$U_{Qp,fin} = 0.98 \text{ cm}$$

$$U_{fin,pritisak} = 5.7 + 1.49 + 0.98 = 8.17 \text{ cm} < \frac{L}{250} = \frac{2500 \text{ cm}}{250} = 10 \text{ cm}$$

$$U_{fin} \text{ odizanje} = 5.7 - 1.77 = 3.93 \text{ cm} < \frac{L}{250} = \frac{2500 \text{ cm}}{250} = 10 \text{ cm}$$

$$S = 83.3\%$$

5. DIMENZIONIRANJE

materijal: GL32h $\rightarrow \gamma_M = 1.3$

uporabna klasa: 2 $\rightarrow k_{mod} = 0.9$

Proračunske vrijednosti:

$$f_{m,d} = 0.9 \cdot \frac{32}{1.3} = 22.15 \text{ N/mm}^2$$

$$f_{v,d} = 0.9 \cdot \frac{3.5}{1.3} = 2.42 \text{ N/mm}^2$$

$$f_{c,o,d} = 0.9 \cdot \frac{32}{1.3} = 22.15 \text{ N/mm}^2$$

$$f_{t,o,d} = 0.9 \cdot \frac{25.6}{1.3} = 17.7 \text{ N/mm}^2$$

1.1. GREDA B1

\rightarrow pretpostavljeni poprečni presjek punog profila:

$$b=220 \text{ mm}$$

$$h=1300 \text{ mm}$$

$$A = b \cdot h = 22 \cdot 130 = 2860 \text{ cm}^2$$

$$I = \frac{b \cdot h^3}{12} = \frac{22 \cdot 130^3}{12} = 4027833.33 \text{ cm}^4$$

$$W = \frac{b \cdot h^2}{6} = \frac{22 \cdot 130^2}{6} = 61966.67 \text{ cm}^4$$

$$M_{G1,Ed} = 706.7 \text{ kNm}$$

$$N_{G1,c,o,d} = 0$$

$$V_{G1,v,d} = 107.55 \text{ kN}$$

Proračun naprezanja nosača:

$$\sigma_{G1,M,y,d} = \frac{706.7 \cdot 10^3}{61966.67} = 11.42 \text{ N/mm}^2$$

$$\tau_{G1,d} = 1.5 \cdot \frac{107.55 \cdot 10^3}{2860 \cdot 10^2} = 0.38 \text{ N/mm}^2$$

Dokaz nosivosti i stabilnosti na moment savijanja i uzdužnu tlačnu silu:

$$\frac{\sigma_{G1,M,y,d}}{k_{crit} \cdot f_{m,d}} = \frac{11.42}{1 \cdot 22.15} = 0.52 < 1$$

$$S = 52\%$$

Dokaz nosivosti i stabilnosti na poprečnu silu:

$$\frac{\tau_{G1,d}}{f_{v,d}} = \frac{0.38}{2.42} = 0.157 < 1$$

$$S = 16\%$$

DIMENZIONIRANJE VJETROVNIH SPREGOVA

$$c_z = -1.2 - 0.2 = 1.4$$

$$q_{w,A,d} = c_z \cdot q_p = 1.4 \cdot 0985 = 1.38 \text{ kN/m}^2$$

$$c_z = -0.8 - 0.2 = 1.0$$

$$q_{w,B,d} = c_z \cdot q_p = 1.0 \cdot 0985 = 0.985 \text{ kN/m}^2$$

$$c_z = -0.5 - 0.2 = 0.7$$

$$q_{w,C,d} = c_z \cdot q_p = 0.7 \cdot 0985 = 0.69 \text{ kN/m}^2$$

$$Nd = (1 - k_{crit}) \cdot \frac{M_{yd}}{h}$$

$$Nd = (1 - 0.492) \cdot \frac{706.7 \cdot 10^3}{1.2} = 299.17 \text{ kN}$$

$$n = \frac{11}{2} = 5.5$$

$$k_l = \min \left(1, \sqrt{\frac{9}{25}} \right) \rightarrow k_l = 0.6$$

$$k_{crit} = 0.492$$

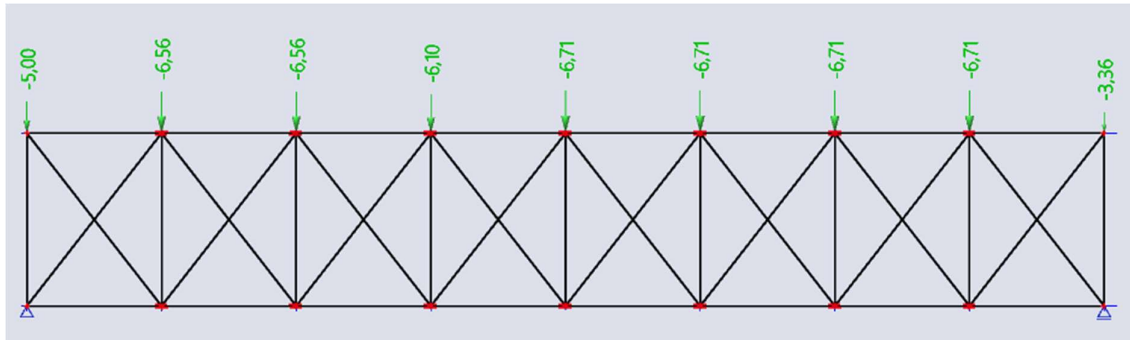
$$q_d = kl \cdot \frac{n \cdot Nd}{30 \cdot l} = 0.6 \cdot \frac{3.67 \cdot 299.17}{30 \cdot 25} = 0.87 \text{ (kN/m}^2\text{)}$$

$$q_{w1,d} = q_{w,A,d} \cdot \frac{1}{2} \cdot \frac{h}{2} = 1.38 \cdot \frac{1}{2} \cdot \frac{5}{2} = 1.73 \text{ kN/m}^2$$

$$q_{w2,d} = q_{w,B,d} \cdot \frac{1}{2} \cdot \frac{h}{2} = 0.985 \cdot \frac{1}{2} \cdot \frac{5}{2} = 1.23 \text{ kN/m}^2$$

$$q_{w3,d} = q_{w,C,d} \cdot \frac{1}{2} \cdot \frac{h}{2} = 0.69 \cdot \frac{1}{2} \cdot \frac{5}{2} = 0.86 \text{ kN/m}^2$$

$$Q_{LT} = q_d \cdot 3.125 = 0.87 \text{ kN}$$



6. DIMENZIONIRANJE SEKUNDARNIH NOSAČA

Prepostavljeni poprečni presjek: $b/h = 16/18 \text{ cm}$

$$A = b \cdot h = 288 \text{ cm}^2$$

$$W_y = \frac{b \cdot h^2}{6} = 864 \text{ cm}^3$$

Vrijednosti raspodijeljenog opterećenja po podrožnici:

$$g_{G,k} = g_k \cdot a = 0.5 \frac{kN}{m^2} \cdot 3.125m = 1.56 \text{ kN/m}$$

$$g_{Q,k,w} = w_k \cdot a = 1.084 \frac{kN}{m^2} \cdot 3.125m = 3.39 \text{ kN/m}$$

$$g_{Q,k,s} = s_k \cdot a = 0.4 \frac{kN}{m^2} \cdot 3.125m = 1.25 \text{ kN/m}$$

$$q_{z,d} = 1.35 \cdot g_{G,k} \cdot \cos \alpha + 1.5 \cdot 0.9 \cdot (q_{Q,k,s} \cdot \cos \alpha + q_{Q,k,w})$$

$$q_{z,d} = 1.35 \cdot 1.56 \cdot \cos 0 + 1.5 \cdot 0.9 \cdot (1.25 \cdot \cos 0 + 3.39) = 8.37 \text{ kN/m}$$

Rezne sile:

$$M_{y,d} = \frac{q_{z,d} \cdot L^2}{8} = \frac{8.37 \cdot 4^2}{8} = 16.74 \text{ kNm}$$

$$V_{y,d} = \frac{q_{z,d} \cdot L}{2} = \frac{8.37 \cdot 4}{2} = 16.74 \text{ kNm}$$

Koeficijent izbočavanja oko osi:

$$k_{crit} = \frac{l_{ef,z} \cdot h}{b^2} = \frac{400 \cdot 18}{16^2} = 28.13 \leq 120$$

$$k_{crit} = 1.0$$

Proračunska naprezanja:

$$\sigma_{m,y,d} = \frac{M_{y,d}}{W_y} = \frac{16.74 \cdot 10^6 \text{ kNm}}{864 \cdot 10^3 \text{ cm}^3} = 19.38 \frac{\text{N}}{\text{mm}^2}$$

$$\tau_{y,d} = 1.5 \cdot \frac{V_{y,d}}{A} = \frac{1.5 \cdot 16.74 \cdot 1000}{288 \cdot 10^2} = 0.58 \text{ kN}$$

Dokaz nosivosti i stabilnosti:

$$\frac{\sigma_{m,y,d}}{k_{crit} f_{m,y,d}} < 1$$

$$0.88 < 1$$

$$\frac{\tau_{y,d}}{f_{v,d}} < 1 \quad 0.24 < 1$$

7. STABILIZACIJA

DOKAZ ZA GORNJI POJAS GLAVNOG NOSAČA

1. Dokaz za dijagonale

$$\emptyset 12 \quad A_{netto} = 0.9 \text{ cm}^2$$

$$\sigma_{D_1d} = \frac{N_{D_1d}}{A_{netto}} = \frac{6.95 \cdot 10^3}{0.9 \cdot 10^2} = 77.22 \text{ N/mm}^2$$

S235

$$\sigma_{R,d} = \frac{f_{y,k}}{\gamma_M} = \frac{235}{1.1} = 213.64 \text{ N/mm}^2$$

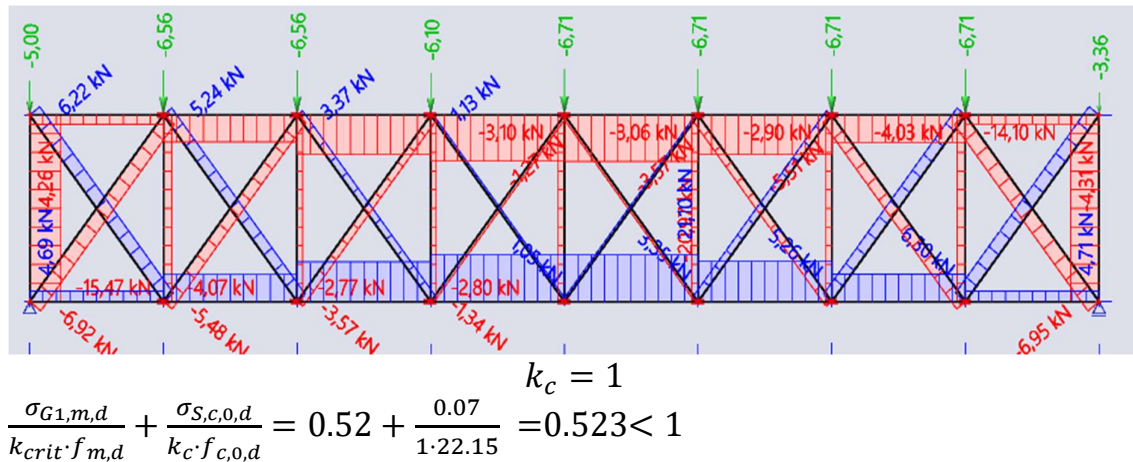
$$\frac{\sigma_{D_1d}}{\sigma_{R,d}} = \frac{77.222}{213.64} = 0.36 < 1.0$$

2. Dokaz za glavne nosače (pojasevi sprega)

$$\sigma_{S,c,0,d} = \frac{N}{A} = \frac{20.97 \cdot 10^3}{2860 \cdot 10^2} = 0.07 \text{ N/mm}^2$$

Za $l_{ef} = 3.125$ (m) izračunamo k_c

$$\lambda = \frac{l_{eff,z}}{i_{min}} = \frac{3125}{0.289 \cdot 1300} = 8.32$$



3. Dokaz za sekundarne nosače (podrožnice)

$$\sigma_{S,c,0,d} = \frac{N}{A} = \frac{15.47 \cdot 10^3}{160 \cdot 180} = 0.05 \text{ N/mm}^2$$

Za $l_{ef} = 4$ (m) izračunamo $k_c = 0.570$

$$\frac{\sigma_{S,c,0,d}}{k_c \cdot f_{c,0,d}} + \frac{\sigma_{m,y,d}}{k_{crit} \cdot f_{m,y,d}} = \frac{0.05}{0.570 \cdot 22.15} + 0.88 =$$

$$0.884 < 1$$

Stupanj iskorištenosti nosača: $S = 88.4 \%$

8. PRORAČUN SPOJA ARMIRANO BETONSKOG ZIDA I DRVENOG NOSAČA

8.1. PRORAČUN TIJESNO UGRAĐENIH VIJAK U DRVU

Osnovni materijal: puno drvo, 22/130

Klasa čvrstoće GL32h

Djelovanja: stalno + promjenjivo kratkotrajno

$F_d = 107.55 \text{ kN}$

Uporabna klasa 2

Tijesno ugrađeni vijci $\Phi 16\text{mm}$ (M16) kl. čvrstoće 4.6

$$f_{u,k} = 400 \text{ N/mm}^2$$

$$\text{GL32h} \rightarrow \rho_{k,1} = 440 \text{ kg/m}^3$$

$$k_{mod} = 0.90$$

$$\gamma_M = 1.3 \text{ (drvo)}$$

$$\gamma_M = 1.1 \text{ (vijci*)}$$

$$M_{y,k} = 0.3 \cdot f_{u,k} \cdot d^{2.6} = 0.3 \cdot 400 \cdot 16^{2.6} = 162 \text{ Nm}$$

$$f_{h,2,k} = 0.082 \cdot (1 - 0.01 \cdot d) \cdot \rho_k = 0.082 \cdot (1 - 0.01 \cdot 16) \cdot 440 = \\ 30.31 \text{ N/mm}^2$$

$$R_k = 0.5 \cdot f_{h,2,k} \cdot t_z d = 0.5 \cdot 30.31 \text{ N/mm}^2 \cdot 10^6 \cdot 0.22 \cdot 0.016 = 53.33 \text{ kN}$$

$$R_k = 1.15 \cdot \sqrt{2 \cdot M_{y,k} \cdot f_{h,2,k} \cdot d} = 1.15 \sqrt{2 \cdot 162 \cdot 30.31 \cdot 10^6 \cdot 0.016} = \\ = 14.41 \text{ Kn}$$

$$A_{podloške} = \pi \cdot \frac{(64^2 - 1^2)}{4} = 3016 \text{ mm}^2$$

$$F_{ax, podloške, Rk} = 3 \cdot 2.5 \cdot 3016 = 22620 \text{ N / strani}$$

$$F_{Rk} = F_{v,Rk} + 2 \cdot \frac{F_{ax,podloške,Rk}}{4} = 14.41 + 11.31 = 25.72$$

$$F_{Rd} = \frac{0.9 \cdot 25.72}{1.3} = 17.81 \text{ kN / vijku}$$

$$n = \frac{F_d}{F_{Rd}} = \frac{107.55}{17.81} = 6.038$$

n= 6.038 → 8 vijaka

8.2. PRORAČUN TIJESNO UGRAĐENIH VIJAKA U BETONU

$$M_{Prevrtanja} = N * b$$

$$M_{Prevrtanja} = M_D * \left(\frac{1}{80} + \frac{1}{60} * \frac{e}{h} * (1 - k_m) \right)$$

$$M_{Prevrtanja} = 5.72 \text{ kNm}$$

$$N = \frac{M_{Prevrtanja}}{b} = 26 \text{ kN}$$

Prepostavka vijci M16 (k.v. 4.6.)

$$c_{\min} = 2d + a\sqrt{2} = 2 \cdot 22 + 4 \cdot 1,41 = 49,6 \text{ mm}$$

Usvojeni c_{min} = 50 cm

Otpornost vijka na vlak

$$F_{T,rd} = F_{t,rk} / 1.25 = 56.5 / 17.87 = 45.25 > \frac{F_{t,sd}}{2} = 8.94$$

Prepostavljamo dimenzije ploče 400x250mm

Savijanje ploče od odgovora betonskog stupa

$$s = (400 - 220 * 10) / 2 = 95 \text{ mm} = 9.5 \text{ cm}$$

$$R = F_{t, sd} + N_{s, d} = 17.87 + 26 = 43.87 kN$$

$$f_{B, sd} = \frac{\frac{R}{3 \cdot s \cdot b_{pl}}}{2}$$

$$f_{B, sd} = 0.13 kN/cm^2 < f_{ck} / 1.5 = 1.67 kN/cm^2$$

Savijanje ploče

$$M_{sd} = F1 \cdot \frac{s}{2} + F2 \cdot \frac{2}{3}s = \frac{2}{3} f_{B, sd} \cdot s \cdot b_{pl} \cdot \frac{s}{2} + \frac{\frac{1}{3} f_{B, sd} \cdot s \cdot b_{pl}}{2} \cdot \frac{2}{3}s =$$

$$M_{sd} = 0.588 \text{ kNm}$$

Savijanje ploče od vlačnih vijaka

$$M_{sd} = F_{t, sd} \cdot (c + t_f / 2)$$

$$M_{sd} = 0.982 \text{ kNm}$$

$$M_{sd} \leq \frac{W_{\min} \cdot f_y}{1,1} \Rightarrow W_{\min} = \frac{1,1 \cdot M_{sd}}{f_y} = \frac{b_{pl} \cdot t_{pl}^2 \cdot \frac{\min}{6}}{1,1 \cdot M_{sd} \cdot 6} \Rightarrow t_{pl}^{\min} = \sqrt{\frac{1,1 \cdot M_{sd} \cdot 6}{b_{pl} \cdot f_y}}$$

$$t_{pl, min} = 1,07 \text{ cm} \text{ uzimamo debljinu lima } 12 \text{ mm}$$

Odabrane dimenzije ploče su 400x250x12mm

9. VATROOTPORNOST

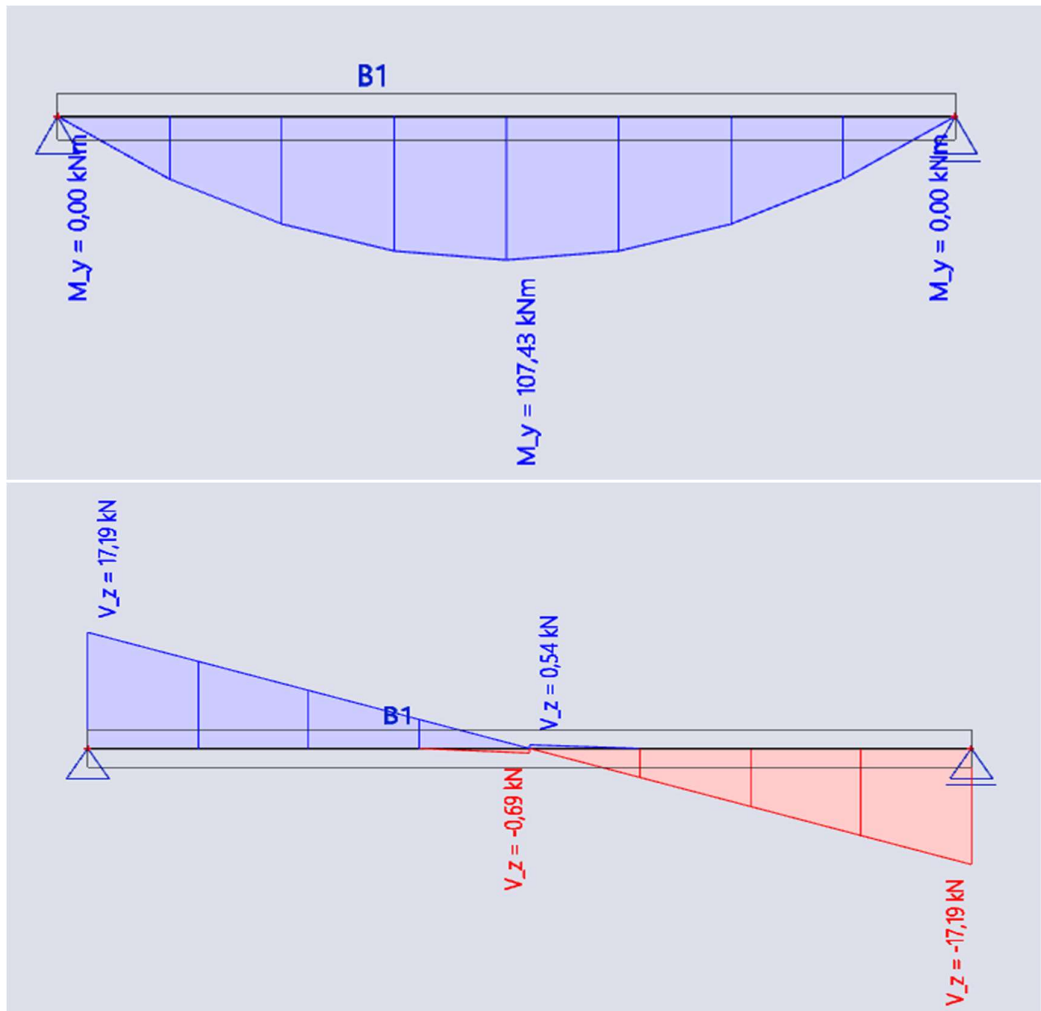
Proračun nosivosti konstrukcije uslijed djelovanja požara u trajanju od 30 min po EC5

$$E_{dA} = E \left\{ \sum \gamma_{GA,j} \cdot G_{k,j} + \psi_{1,1} \cdot Q_{k,1} + \sum \psi_{2,i} \cdot Q_{k,i} \right\}$$
$$\gamma_{GA,j} = 1,0; \psi_{1,1} = 0,2$$

Spregovi koji su postavljeni u prvom i posljednjem pojasu zadržavaju svoju nosivost i svojstva

poprečnog presjeka nakon požara od 30 minuta, oni su zaštićeni vatrootpornim premazima.

Dijagrami reznih sila za najkritičniju kombinaciju 1,0G + 0,2W2



9.1 GORNJI POJAS

$$b=220 \text{ mm}$$

$$h=1300 \text{ mm}$$

$$M_{d,fi} = 134.29 \text{ kNm}$$

$$d_{fi} = t_{fi} * Bn = 30 * 0.7 = 21 \text{ mm} = 2.1 \text{ cm}$$

Nakon 30 minuta

$$b_{fi} = b - 2 * d_{fi} = 22 - 2 * 2.1 = 17.8$$

$$h_{fi} = h - 2 * d_{fi} = 130 - 2 * 2.1 = 125.8$$

Nagoreni opseg nosača

$$P = 2 * b_{fi} + 2 * h_{fi} = 2 * 17.8 + 2 * 125.8 = 287.2 \text{ cm}$$

Nagorena površina nosača

$$A = b_{fi} * h_{fi} = 2239.24 \text{ cm}^3$$

$$W_{y,r} = \frac{b_{fi} \cdot h_{fi}^2}{6} = 46949.4 \text{ cm}^4$$

$$\sigma_{my,d,fi} = \frac{M_{d,fi}}{W_{y,r}} = \frac{134.29 \cdot 10^6}{46949.4} = 2.86 \text{ N/mm}^2$$

$$k_{mod} = 0.94$$

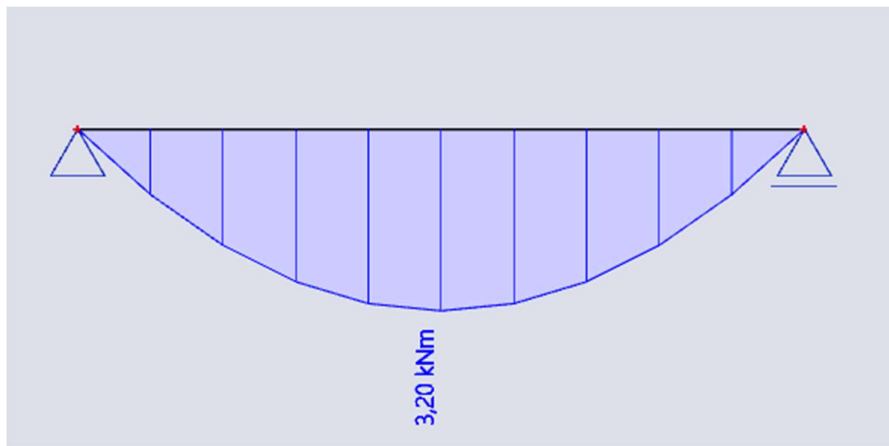
$$k_{fi} = 1.25$$

$$f_{m,d,fi} = k_{mod} * k_{fi} * 32 = 37.6 \text{ N/mm}^2$$

$$\frac{\sigma_{my,d,fi}}{f_{m,d,fi}} = \frac{2.86}{37.6} = 0.076 < 1$$

9.1 VATROOTPORNOST PODROŽNICA

Kombinacija 1,0G + 0,2S



b=160 mm

h=180 mm

$$d_{fi} = t_{fi} * Bn = 30 * 0.7 = 21mm = 2.1cm$$

Nakon 30 minuta

$$b_{fi} = b - 2 * d_{fi} = 16 - 2 * 2.1 = 11.8$$

$$h_{fi} = h - 2 * d_{fi} = 18 - 2 * 2.1 = 13.8$$

Nagoreni opseg nosača

$$P = 2 * b_{fi} + 2 * h_{fi} = 2 * 11.8 + 2 * 13.8 = 51.2\text{cm}$$

Nagorena površina nosača

$$A = b_{fi} * h_{fi} = 162.84\text{cm}^3$$

$$W_{y,r} = \frac{b_{fi} \cdot h_{fi}^2}{6} = 374.53\text{ cm}^4$$

$$\sigma_{my,d,fi} = \frac{M_{d,fi}}{W_{y,r}} = \frac{4 * 10^6}{374.53} = 10.68\text{ N/mm}^2$$

$$k_{mod} = 0.84$$

$$k_{fi} = 1.25$$

$$f_{m,d,fi} = k_{mod} * k_{fi} * 32 = 33.6\text{N/mm}^2$$

$$\lambda = \frac{l_{eff} \cdot h}{b^2} = \frac{400 \cdot 13.8}{11.8^2} = 39.64 < 140 \rightarrow k_{crit} = 1$$

$$\frac{\sigma_{my,d,fi}}{f_{m,d,fi}} = 10.86 / 33.6 = 0.076 < 1$$

10. Nacrti

10.1.Generalni plan pozicija M:100

10.2.Detalj 1 M1:10

10.3.Detalj 2 M1:25

10.4.Detalj 3 M1:25

11. Literatura

1. pred. izv.prof.dr.sc. Neno Torić predavanja iz predmeta Osnove Drvenih Konstrukcija
2. pred. izv.prof.dr.sc. Neno Torić ,mag.ing.aedif. Jelena Lovrić Vranković vježbe iz predmeta Osnove Drvenih Konstrukcija
3. pred. prof.dr.sc. Ivica Boko, prof.dr.sc. Marko Goreta vježbe iz predmeta Osnove Metalnih Konstrukcija



SS1

SS2

SS3

SS4

SS5

SS6

SS7

SS8

SS9

SS10

SS11

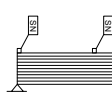
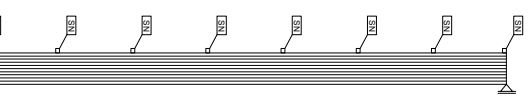
SS12

SS13

SS14

2500

2500

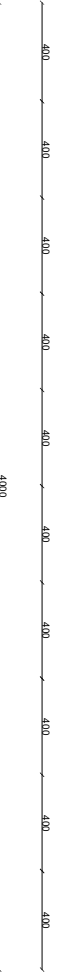
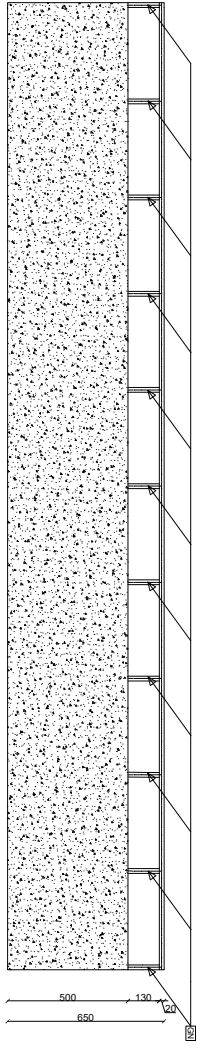


2

2

2

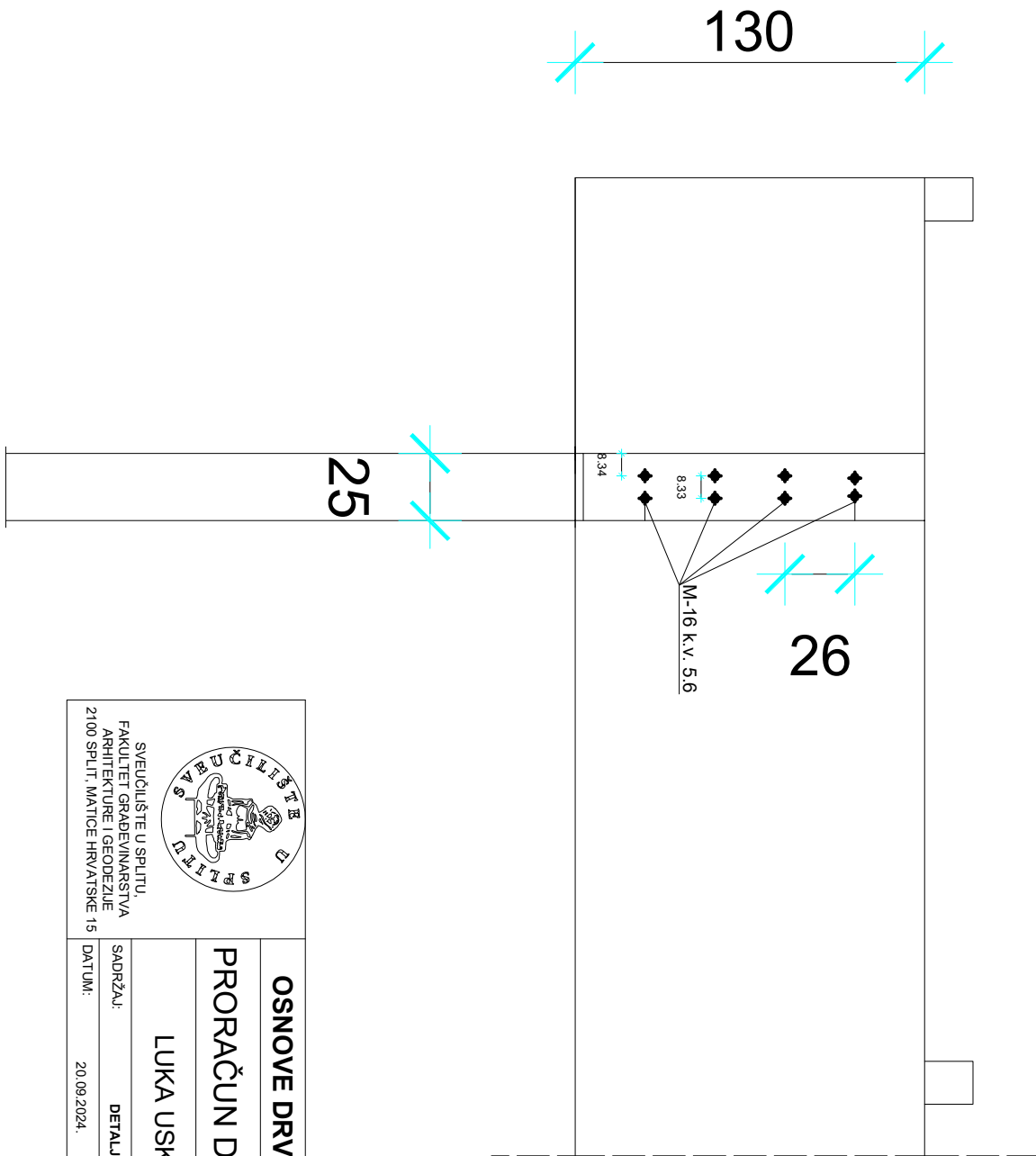
Projekat 2/2



OSNOVE DRVENIJE KONSTRUKCIJA	
PRORAČUN DRVENOG KROVIŠTA	
DRVENE KONSTRUKCIJE	Luka LUSOK
DRVENE KONSTRUKCIJE	KONTROLA INŽENJERSTVA
DODJELJIVANJE KONSTRUKCIJE	GENERALNI PANEKONZUM
DODJELJIVANJE KONSTRUKCIJE	DETALJI
DETALJI	NARAVNO NA 1:50
DETALJI	PRILOG: 1

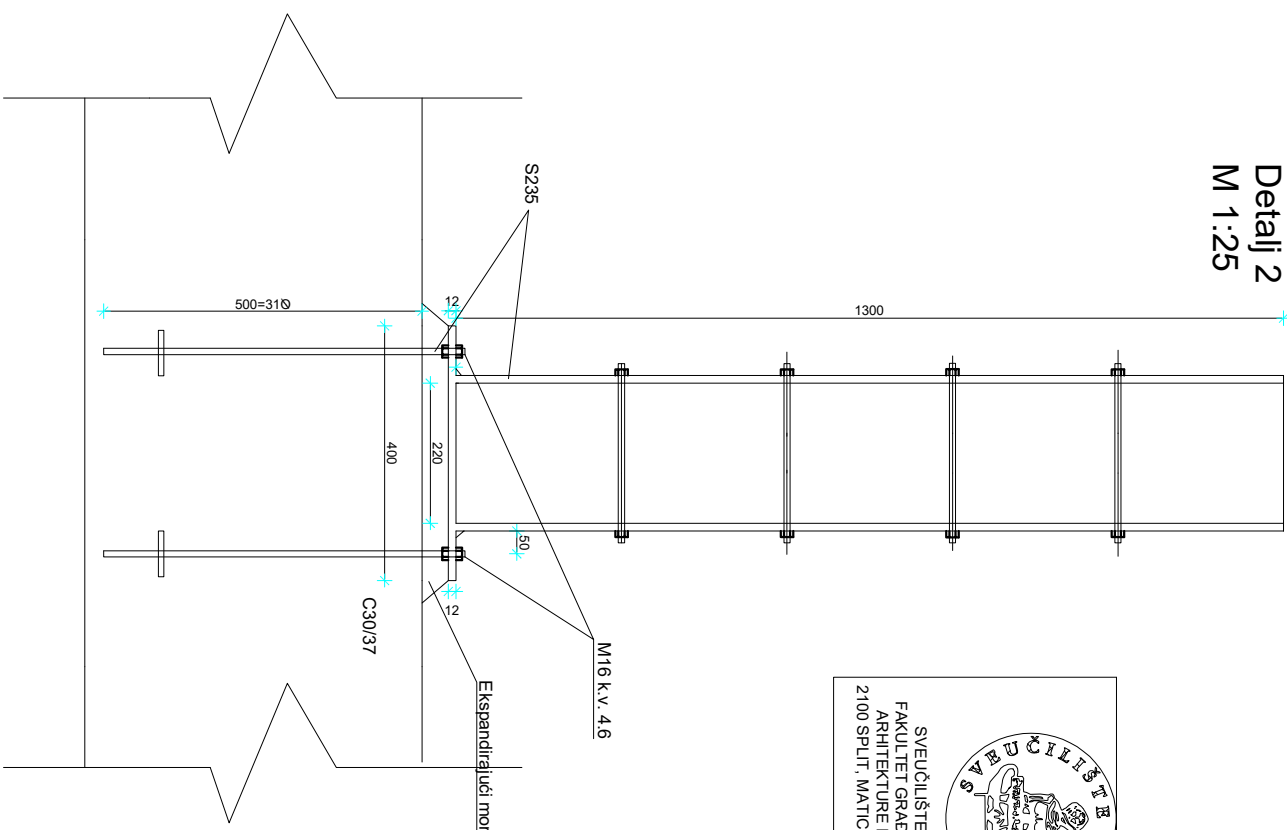
Detalj 1

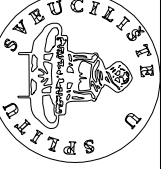
M 1:10



OSNOVE DRVENIH KONSTRUKCIJA	
PRORAČUN DRVENOG KROVIŠTA	
SVUČILIŠTE U SPLITU, FAKULTET GRAĐEVINARSTVA ARHITEKTURE / GEODEZIJE 2100 SPLIT, MATICE HRVATSKE 15	LUKA USKOK
SADRŽAJ:	DETALJ 1
DATUM:	20.09.2024.
MJERILO:	M 1 : 10
PRLOG:	1

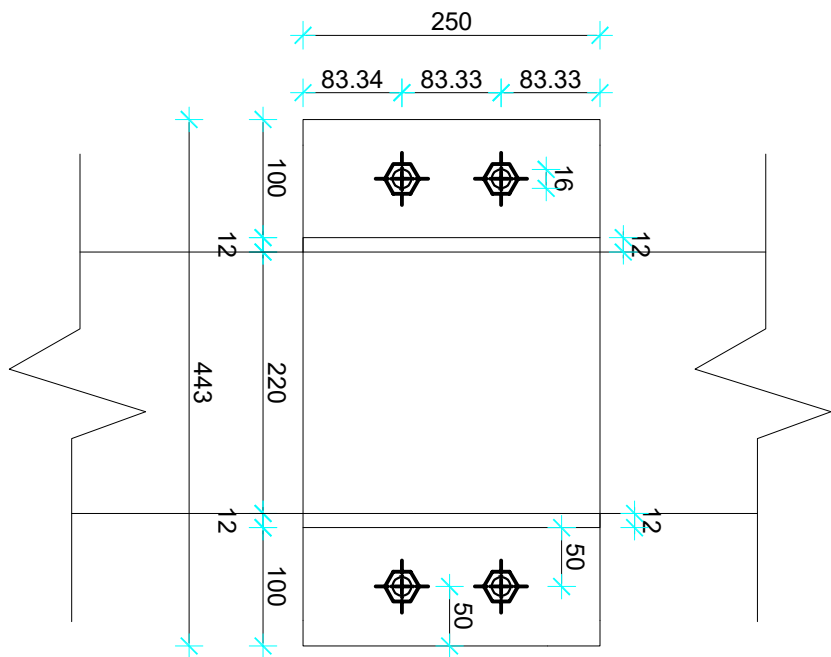
Detalj 2
M 1:25



OSNOVE DRVENIH KONSTRUKCIJA	
PRORAČUN DRVENOG KROVIŠTA	
	
LUKA USKOK	
SADRŽAJ:	DETALJ 2
MJERILO:	M 1 : 25
DATUM:	20.09.2024.
PRLOG:	1

Detalj 3

M 1:25



	OSNOVE DRVENIH KONSTRUKCIJA
	PRORAČUN DRVENOG KROVIŠTA
Fakultet građevinarstva Arhitekture (Geodezije)	LUKA USKOK
SADRŽAJ:	DETALJ 3
DATUM:	20.09.2024.
MERILLO:	M 1 : 25
PRILOG:	1